



تأثیر تغییر اقلیم بر بارش- رواناب حوضه آبریز صوفی چای

مسعود غریب دوست^۱، محمدعلی قربانی^{۲*} و عطیه حسینی زاده^۳

۱- دانش آموخته کارشناسی ارشد مهندسی منابع آب، دانشگاه تبریز.

۲- نویسنده مسئول، دانشیار دانشگاه تبریز، دانشکده کشاورزی، گروه مهندسی آب. m_ali_ghorbani@ymail.com

۳- دانش آموخته کارشناسی ارشد مهندسی منابع آب، دانشگاه شهید چمران اهواز.

تاریخ پذیرش: ۹۴/۱۱/۴

تاریخ دریافت: ۹۳/۱۰/۱۷

چکیده

امروزه تاثیر پدیده گرمایش جهانی و تغییر اقلیم به خاطر افزایش گازهای گلخانه‌ای در اتمسفر بر بسیاری از سیستم‌های طبیعی به اثبات رسیده است. تمامی مدل‌های گردش عمومی آتمسفر (GCM) آینده گرمتری را برای کره زمین پیش‌بینی می‌کنند. وقوع چنین شرایطی می‌تواند فرآیندهای هیدرولوژیک نظیر بارش و جریان رودخانه‌ها را که یکی از اصلی‌ترین منابع تأمین کننده آب حوضه‌ها می‌باشد تحت تاثیر قرار دهد. به دلیل تفکیک فضایی کم یا ساده سازی برخی پدیده‌های خرد مقیاس در مدل‌های گردش عمومی جو، این مدل‌ها نمی‌توانند تقویت درستی از شرایط آب و هوایی مناطق کوچک ارائه دهند، لذا بایستی خروجی آن‌ها تا حد ایستگاه هواشناسی ریزمقیاس گردد. در این تحقیق داده‌های مدل گردش عمومی جو HadCM3 با به کارگیری مدل LARS-WG طبق دو سناریوی A2 و A1B، ریزمقیاس شده و پارامترهای روزانه بارش، دمای حداقل و دمای حداقلتر حوضه آبریز صوفی چای برای سه دوره ۲۰۱۱-۲۰۳۰، ۲۰۴۶-۲۰۶۵، ۲۰۹۹-۲۰۸۰ تولید گردید. برای ارزیابی تاثیر تغییر اقلیم بر رواناب حوضه، از مدل‌های هوشمند شبکه عصبی مصنوعی و برنامه‌ریزی ژنتیک استفاده شده است. نتایج حاکی از افزایش مقطعي بارش در دوره ۲۰۱۱-۲۰۳۰ و کاهش آن در آینده‌های دورتر نسبت به اقلیم کنونی، افزایش تدریجی دمای حداقل و دمای حداقلتر در هر سه دوره و کاهش میزان رواناب در آینده نسبت به حال حاضر می‌باشد.

کلیدواژه‌ها: بارش-رواناب، حوضه صوفی چای، ریزمقیاس نمایی، مدل LARS-WG، مدل‌های هوشمند

The Impact of climate change Effects on rainfall-runoff ifn the Sufi-Chai Basin

M. Gharibdoust¹, M. A. Ghorbani^{2*} and A. HosseiniZade³

1- M. Sc, Water Resource Engineering, Tabriz University, Iran

2- Corresponding Author, Associate Professor, Tabriz, University of Tabriz, Faculty of Agriculture,
Department of Water Engineering, Iran.

3- M. Sc, Water Resource Engineering, ShahidChamran University of Ahvaz, Iran.

Received: 7 January 2015

Accepted: 24 January 2016

Abstract

Nowday, the impact of global warming and climate change because of the increased effects of greenhouse gases in the atmosphere has been observed in many natural systems. All the general circulation models of the atmosphere predict warmer future for the earth. Hydrological processes such as rainfall and river flows as one of the main sources of water supply basins could be affected in such circumstances. Due to the low spatial resolution or simplification of some micro-scale phenomena in atmospheric general circulation models, these models cannot be employed for accurate approximation of the climate of the considered area, therefore, their output must be down scaled to the meteorological station range. In this study, the data of HadCM3 general circulation model down scaling with the use of LARS-WG model under two scenarios A2 and A1B and Parameters of daily rainfall, minimum temperature and maximum temperature of the Sufi-Chi basin generated for three periods (2011-203, 2046-2065-, 2080-2099). To assess

the effect of climate change on runoff is used from artificial neural networks and genetic programming of intelligent model. The results indicate that the rainfall will increase in 2011-2030 and will decrease in the further future. Also the maximum and minimum temperatures will gradual increase in three periods of future and the amount of runoff will decrease in future than current time.

Keywords: Rainfall-runoff, Sufi-Chi basin, Downscaling, LARS-WG, Intelligent models.

استفاده از انواع مدل‌های ریز مقیاس نمایی آماری مانند MET & CLIMGEN، SDSM، LARS-WG و ROLL برای مدل سازی رفتار اقلیم در نقاط مختلف جهان رایج می‌باشد. به جهت اینکه پارامتر رواناب جزء خروجی مدل‌های گردش عمومی نمی‌باشد لذا می‌باشد از مدل‌های هوشمند جهت برآورد آن استفاده نمود. در ارتباط با تغییر اقلیم و مدل سازی بارش - رواناب مطالعات زیادی صورت گرفته است که از آن جمله می‌توان به موارد زیر اشاره کرد. عbedo و همکاران^۶ (۲۰۰۹) به ارزیابی اثر تغییر اقلیم بر پارامترهای دمای کمینه و بیشینه، و بارش با مدل گردش عمومی HadCM3 پرداختند و برای ریز مقیاس نمایی از روش‌های آماری تحت سناریوهای A2 و B2 استفاده کردند. سوویگنت و همکاران^۷ (۲۰۱۰) در تحقیقی به بررسی عملکرد مدل ریز مقیاس نمایی آماری SDSM تحت حوضه الکیو شیلی پرداختند و عملکرد این مدل HadCM3 در قابل قبول گزارش کردند. هاشمی و همکاران^۸ (۲۰۱۰) توأیی را قابل قبول گزارش کردند. هاشمی و همکاران^۹ (۲۰۰۹) توأیی هر دو مدل SDSM و LARS-WG برای شبیه سازی فرکانس بارش‌های حداقل حاصل از شرایط فعلی حوضه کلوتا در جنوب نیوزیلند را مورد ارزیابی قراردادند و به این نتیجه رسیدند که هر دو مدل از توأیی قابل قبولی برای شبیه سازی اقلیم برخوردار هستند. اشرف و همکاران (۱۳۹۰) با به کار گیری مدل HadCM3 داده‌های مدل گردش عمومی جو LARS-WG طبق سه سناریوی A2، B1 و A1B ریز مقیاس نمودند و تغییرات فصلی بارش، دمای کمینه و بیشینه استان خراسان رضوی را مورد بررسی قرار دادند. گون^{۱۰} (۲۰۰۹) برای پیش‌بینی دبی جریان روزانه روذخانه شویل کیل در ایالات متحده از روش‌های برنامه‌ریزی ژنتیک و شبکه عصبی مصنوعی استفاده کرد، وی نشان داد که هر دو روش نتایج قابل قبولی دارند ولی برنامه‌ریزی ژنتیک از دقت بالاتری برخوردار است. کیسی و همکاران^{۱۱} (۲۰۱۲) فرآیند بارش - رواناب حوضه کوروکاوک واقع در شمال غرب ترکیه را به کمک سه روش شبکه عصبی مصنوعی، نروفازی و برنامه‌ریزی ژنتیک مدل سازی و با روش

مقدمه

اقلیم سیستم پیچیده‌ای است که عمدتاً به دلیل افزایش گازهای گلخانه‌ای در حال تغییر است. مهمترین اثر تغییر اقلیم تأثیرگذاری آن بر پدیده‌های حدی جوی و اقلیمی نظری طوفان، سیل، تگرگ، خشکسالی، امواج گرمایی و سرماهای نابینگام خواهد بود. معترضین اثراً بر ای بررسی اثرات پدیده تغییر اقلیم بر سیستم‌های مختلف، استفاده از متغیرهای اقلیمی شبیه سازی شده توسط مدل‌های گردش عمومی جفت شده جوی-اقيانوسی می‌باشد. این مدل‌ها قادرند پارامترهای جوی و اقيانوسی را برای یک دوره بلند مدت با استفاده از سناریوهای تأیید شده هیئت بین دولتی تغییر اقلیم^۱ مدل سازی نمایند (متچل^۲، ۲۰۰۳). اما صحف عمده آنها قدرت تفکیک مکانی کم و نیز ساده سازی هایی است که برای فرایندهای اقلیمی در نظر می‌گیرند (ولیبی و همکاران^۳، ۱۹۹۸). برای فائق آمدن به ضعف قدرت تفکیک پایین، لازم است که خروجی این مدل‌ها قبل از استفاده در مطالعات ارزیابی اثرات تغییر اقلیم، ریز مقیاس شوند (جانسون و همکاران^۴، ۱۹۹۶). ریز مقیاس نمایی را می‌توان به دو روش دینامیکی و آماری انجام داد. در ریز مقیاس نمایی آماری می‌توان از روش‌های متداول آماری مانند رگرسیون و همچنین مدل‌های مولد هواشناسی استفاده کرد. در روش ریز مقیاس نمایی دینامیکی معادله‌های حاکم بر بسته هوا در شبکه‌های ریزتری از شبکه مدل گردش عمومی جو با استفاده از روش‌های تحلیل عددی از قبیل تفاضل محدود حل می‌شوند که در صورت استفاده از این روش می‌توان به نقصه دوم مدل‌های گردش عمومی جو یعنی ساده سازی فرایندهای جوی نیز فائق آمد (ولیبی و هریس^۵، ۲۰۰۶). در روش‌های آماری می‌توان در عرض چند ثانیه، ریز مقیاس نمایی را برای یک منطقه یا ایستگاه مشخص در چندین دهه انجام داد در حالی که روش‌های دینامیکی معمولاً با محدودیت زمانی مواجه می‌باشند. لذا استفاده از روش‌های آماری، خصوصاً در موقعی که هزینه کمتر و ارزیابی سریع تر عوامل موثر بر تغییرات آب و هوایی مورد نیاز باشد، از مزیت و قابلیت بیشتری برخوردار است (عباسی و همکاران، ۱۳۸۹).

6- Abdo *et al.*

7- Souvignet *et al.*

8 - Hashmi *et al.*

9- Guven

10- Kisi *et al.*

1- Intergovernmental Panel on Climate Change

2- Mitchell

3- Wilby *et al.*

4- Johnson *et al.*

5- Wilby and Harris

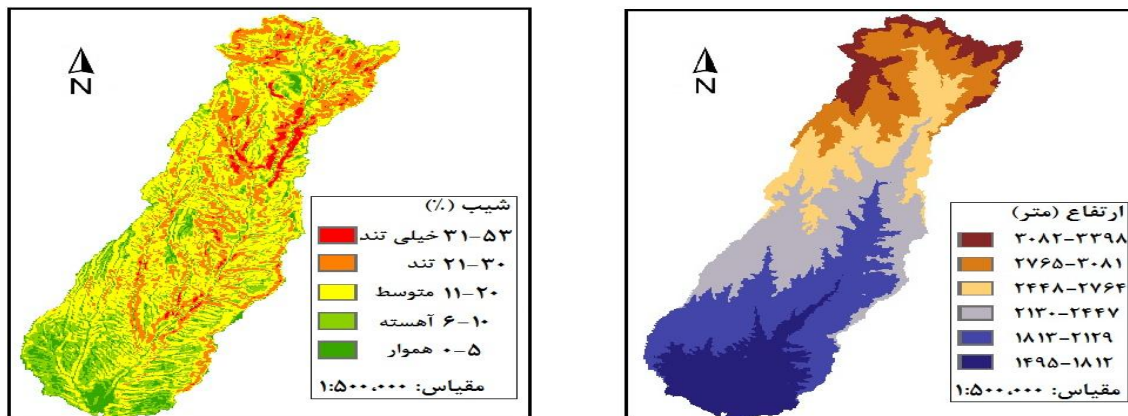
باشد. ارتفاع حوضه در بالا دست روزتای علوبیان بین ۱۴۹۵ تا ۳۳۹۸ متر متغیر است بیش ترین شبیب حوضه در قسمت شمالی آن قرار گرفته است و با حرکت به سوی جنوب از شدت آن کاسته می‌شود (شکل ۱). نزدیک‌ترین ایستگاه‌های هیدرومتری و سینوپتیک به حوضه صوفی چای به ترتیب ایستگاه‌های هیدرومتری تازه‌کند سد علوبیان و سینوپتیک مراغه می‌باشد و پارامترهای هیدرولوژیکی مورد استفاده در این تحقیق شامل مقادیر روزانه بارش، دمای حداقل و دمای حداکثر ایستگاه سینوپتیک مراغه در بازه زمانی (۰۶/۰۱-۱۹۸۳/۰۶/۰۱) و نیز مقادیر دبی روزانه ایستگاه هیدرومتری تازه‌کند در بازه زمانی (۰۶/۰۱-۱۹۸۳/۰۳/۲۰-۲۰۰۷/۰۳/۲۰) می‌باشد. مشخصات آماری پارامترهای مذکور در جدول (۱) ارائه شده است.

رگرسیون خطی مورد مقایسه قرار دادند که نتایج آنها حاکی از برتری مدل‌های هوشمند نسبت به رگرسیون خطی بود. در این تحقیق خروجی مدل گردش عمومی HadCM3 با استفاده از مدل LARS-WG تحت سناریوهای A2 و A1B ریزمقیاس شده و به کمک مدل‌های هوشمند به ارزیابی تاثیر تغییر اقلیم بر بارش- رواناب حوضه صوفی چای پرداخته شده است.

مواد و روش‌ها

منطقه و داده‌های مورد مطالعه

منطقه مورد مطالعه این تحقیق حوضه آبریز صوفی چای به عنوان یکی از زیر حوضه‌های اصلی سد علوبیان واقع در شمال غرب ایران و حد فاصل عرض‌های شمالی ۱۴°۴۳' ۳۷° ۱۲' و طول‌های شرقی ۴۵°۲۹' ۵۶° ۲۶' ۴۶° می-



شکل ۱- نقشه رقوم ارتفاعی و نقشه تقسیمات شب

جدول ۱- مشخصات آماری مقادیر روزانه دبی، بارش، دمای حداقل و دمای حداکثر حوضه آبریز صوفی چای

ضریب چولگی	انحراف معیار	واریانس	مینیمم	ماکریمم	میانگین سالانه	
۳/۰۵	۵/۲۷	۲۷/۷۷	۰/۳۲	۵۵/۰۵	۳/۶۸	دبی (مترمکعب بر ثانیه)
۵/۸۱	۳/۱۰	۹/۶۱	۰	۴۲	۳۴۰/۰۲	بارش (میلی‌متر)
-۰/۱۵	۸/۸۹	۷۹/۱۲	-۲۰/۶	۲۸/۲	۷/۸۲	دماه حداقل (درجه سانتی‌گراد)
-۰/۱۵	۱۱/۱۹	/۴۲ ۱۲۵	-۶/۴	۴۰/۴	۱۸/۵۳	دماه حداکثر (درجه سانتی‌گراد)

آن اجرا گردیده است. ارزیابی مدل LARS-WG با مقایسه بين داده های گذشته و داده های تولید شده توسط مدل انجام می شود که نتایج مربوط به ارزیابی در قسمت بحث و نتایج آورده شده است. پس از اطمینان از صحت نتایج ارزیابی و قابلیت مدل LARS-WG در شبیه سازی داده های هواشناسی، تولید پارامترهای روزانه مذکور برای سه دوره ۲۰۱۱-۰۳۰، ۲۰۱۲-۰۶۵ و ۲۰۱۳-۰۹۹ انجام گرفته است. در این تحقیق از مدل گرددش عمومی HadCM3 به کمک ریز مقیاس نمایی مدل LARS-WG تحت دو سناریوی A2 و A1B استفاده شده است.

مدل های پیش بینی رواناب

مدل LARS-WG توانایی تولید رواناب برای آینده را ندارد و تنها به تولید پارامترهای روزانه بارش، دمای حداقل، دمای حداکثر و تنشعشع برای دوره های مد نظر آینده می پردازد. لذا از مدل های هوشمند برای تخمین رواناب با استفاده از پارامترهای تولیدی مدل LARS-WG برای آینده می توان بهره جست. بدین منظور در این تحقیق از مدل های هوشمند شبکه های عصبی مصنوعی و برنامه ریزی ژنتیک استفاده می شود.

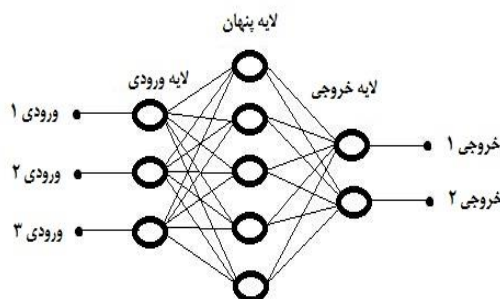
شبکه عصبی مصنوعی

شبکه های عصبی از عناصر عملیاتی ساده های ساخته می شوند که به صورت موازی در کنار هم عمل می کنند و مدل ساده شده ای از عقل انسان هستند. این عناصر از سیستم های عصبی زیستی الهام گرفته شده اند. شبکه عصبی مصنوعی با داده های موجود طی فرآیند یادگیری آموزش دیده و برای پیش بینی در آینده مورد استفاده قرار می گیرد. یکی از ساده ترین و در عین حال کارآمدترین چیدمان های پیشنهادی برای استفاده در مدل سازی عصب های واقعی، مدل پرسپترون چند لایه یا به اختصار "MLP" می باشد که از یک لایه ورودی، یک لایه خروجی و یک یا چند لایه پنهان تشکیل شده است. در این ساختار تمام نرون های یک لایه به تمام نرون های لایه بعد متصل می باشند. در شکل (۲) نمونه ای از شبکه پرسپترون چند لایه (با یک لایه پنهان) مشاهده می گردد.

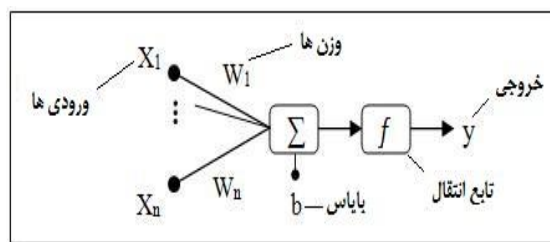
همان طور که در شکل (۲) مشاهده می شود روی هر کدام از لایه ها تعدادی نرون به عنوان واحد های پردازنده وجود دارند که با اتصالاتی وزن دار به یکدیگر متصل می شوند. نحوه اتصال نرون ها و چگونگی تنظیم پارامترهای آنها که از آن به عنوان الگوریتم یادگیری یاد می شود، منجر به نتایج متفاوتی از شبکه می شود. طی فرآیند آموزش، این وزن ها و مقادیر ثابتی که با آنها جمع می شوند و اصطلاحاً بایاس^۳ نامیده می شوند، به طور بی دری تغییر می کنند تا اینکه خطای خطا به کمترین مقادیر خود برسد.

مدل ریز مقیاس نمایی LARS-WG

مدل^۱ LARS-WG یکی از مشهور ترین الگوهای مولد داده های تصادفی وضع هوا است که برای تولید مقادیر بارش، تابش، درجه حرارت های بیشینه و کمینه روزانه در یک ایستگاه تحت شرایط اقلیمی پایه و آینده به کار می رود. نسخه اولیه این مدل در بوداپست طی سال ۱۹۹۰ به عنوان بخشی از پروژه ارزیابی ریسک کشاورزی در کشور مجارستان ارائه شد و کارآبی این مدل توسط سیمونوف در ۱۸ ایستگاه هواشناسی واقع در آمریکا، اروپا و آسیا ارزیابی گردید. هسته اصلی این مدل استفاده از زنجیره مارکف است که به کرات از آن برای مدل سازی رخداد بارش استفاده شده است. در واقع هدف اصلی از کاربرد و ایجاد مدل LARS-WG برای برطرف نمودن محدودیت های زنجیره مارکف است. هر چند که زنجیره مارکف یک روش مرسوم برای مدل سازی پدیده بارش می باشد ولی قادر نیست حداکثر طول دوره خشکسالی را مدل سازی نماید، در حالی که این پارامتر در ارزیابی محصولات کشاورزی بعضی مناطق دنیا از اهمیت قابل توجهی برخوردار است. در این مدل وقوع بارش به صورت سری های تر و خشک مدل می شود، به طوری که سری تر به روزهایی با بارش بیش از صفر میلی متر تعریف می شود و طول هر سری به صورت تصادفی از طریق توزیع نیمه تجزیی تر و خشک اختصاص یافته به آغاز هر ماه تعیین می شود. برای روزهای تر، مقادیر بارش از طریق توزیع نیمه تجزیی ای تعیین می شود که مربوط به بارشی می باشد که از طول سری های تر یا بارش روزهای قبلی مستقل می باشد. درجه حرارت های کمینه و بیشنه روزانه به صورت فرآیندهای تصادفی با میانگین و انحراف معیارهای روزانه که وابسته به وضعیت تر یا خشک بودن روز مورد نظر هستند، مدل سازی می شوند. سری فوریه مرتبه سوم برای شبیه سازی میانگین و انحراف معیار درجه حرارت فصلی به کار می رود. مقادیر حاصل از تفاضل مقادیر میانگین از مقدار مشاهداتی در تحلیل خود همبستگی زمانی داده های حداکثر مورد استفاده قرار می گیرد. با توجه به تغییر پذیری متغیر تابش خورشیدی در بازه های تر و خشک، از توزیع های نیمه تجزیی مجازی برای توصیف این پارامتر در طول بازه های تر و خشک استفاده شده و به صورت مستقل از دما مدل می شود (سمنوف و بارو، ۲۰۰۲). فرآیند مدل سازی به کمک مدل LARS-WG از سه بخش اصلی تشکیل شده که عبارتند از: واسنجی، ارزیابی و تولید یا شبیه سازی داده های هواشناسی دهه های آینده. نیاز اساسی مدل در مرحله واسنجی کردن، فایلی است که مشخص کننده رفتار اقلیم در دوره گذشته می باشد، این فایل با استفاده از داده های روزانه بارش، دمای حداقل و دمای حداکثر حوضه صوفی چای و با در نظر گرفتن یک دوره ۲۵ ساله به عنوان دوره پایه تهیه شده و مدل بر اساس



شکل ۲- شبکه پرسپترون چند لایه با یک لایه پنهان



شکل ۳- مدل غیرخطی یک نرون مصنوعی

برنامه کامپیوتری ارائه می‌کند. در این روش در ابتدا فرآیند، هیچ‌گونه رابطه تابعی در نظر گرفته نشده و این روش قادر به بهینه‌سازی ساختار مدل و مؤلفه‌های آن می‌باشد. تفاوت اساسی موجود بین برنامه‌ریزی ژنتیک و الگوریتم ژنتیک به طبیعت هر یک از افراد بر می‌گردد، به نحوی که افراد در الگوریتم ژنتیک، ردیفهای خطی با طول ثابت می‌باشند (کروموزوم‌ها) ولی در برنامه‌ریزی ژنتیک، همان شاخه‌های محزا می‌باشند. همچنین در برنامه‌ریزی ژنتیک بر ساختار درختی مجموعه‌ها تأکید می‌شود ولی الگوریتم ژنتیک، بر اساس سیستم ارقام دودوئی عمل می‌نماید. در تحقیق حاضر از برنامه GeneXproTools برای توسعه و اجرای مدل‌های مبتنی بر برنامه‌ریزی ژنتیک استفاده به عمل آمده است. برنامه یاد شده بر اساس برنامه‌ریزی صریح ژنتیک^۱ استوار است. برنامه‌ریزی صریح ژنتیک ویرایش جدیدی از برنامه‌ریزی ژنتیک می‌باشد که به استنتاج برنامه‌های رایانه‌ای با اندازه‌ها و شکل‌های مختلف می‌پردازد. یکی از نقاط قوت این برنامه آن است که معیار تنوع ژنتیکی بسیار ساده بوده و لذا عملگرهای ژنتیک در سطح کروموزومی عمل می‌نمایند. همچنین یکی دیگر از نقاط قوت این روش، عبارت از طبیعت منحصر به فرد چند زیه آن است که زمینه ارزیابی مدل‌های پیچیده‌ای را که شامل چندین زیر مدل می‌باشند فراهم می‌آورد (فریرا^۲، ۲۰۰۱). برای مدل‌سازی با استفاده از برنامه‌ریزی ژنتیک، ابتدا پارامترهای موارد ذیل باید تعیین شوند: ۱- مجموعه ترمینال‌ها (شامل متغیرهای مسئله و اعداد ثابت تصادفی)، ۲- مجموعه عملگرهای ریاضی مورد استفاده در فرمول‌ها، ۳-

مدل عمومی شبکه‌های پرسپترون، شبکه‌های جلو روند^۱ با روال آموزش انتشار به عقب^۲ است. شبکه‌های جلو روند شبکه‌هایی هستند که ورودی‌های لایه اول، نرون‌های آن به لایه بعدی متصل بوده و در هر سطح این مسئله صادق بوده تا به لایه خروجی برسد. روال انتشار به عقب بدین معنی است که پس از مشخص شدن خروجی شبکه، ابتدا وزن‌های لایه آخر تصحیح شده و بعد به ترتیب اوزان لایه‌های قبل تصحیح می‌شوند. شکل (۳) یک مدل غیرخطی از یک نرون مصنوعی را نشان می‌دهد.

فرآیند صورت گرفته توسط این نرون را می‌توان از نظر ریاضی به صورت رابطه (۱) بیان نمود:

$$y = f(\sum_{i=1}^n W_i X_i + b) \quad (1)$$

که در آن X_i : ورودی (خروجی لایه نرون قبل) و W_i : وزن متناظر با هر ورودی، b : بیاس، f : تابع انتقال و y : خروجی نرون است (بیو و جنکیو^۳، ۲۰۰۲).

برنامه ریزی ژنتیک

برنامه‌ریزی ژنتیک تعمیم یافته روش الگوریتم ژنتیک می‌باشد که برای اولین بار توسط جان کرا^۴ (۱۹۹۲) بر اساس تئوری داروین ارائه شد. برنامه‌ریزی ژنتیک یک روش برنامه‌ریزی خودکار می‌باشد که راه حل مسئله را با استفاده از

1- Feed Forward

2- Back Propagation Training

3- Yu HH, Jenq

4 -Koza

غريب دوست و همکاران: برآورد ميزان تاثير تغيير اقلیم بر بارش - رواناب...

هستند يا نه مقادير t و احتمال آن برای هر ماه محاسبه شده است. در جدول (۳) مقادير بارش واقعی، مدل شده، انحراف معيار، مقادير t و F ديده می شود با توجه به اينكه تعداد سال های مورد استفاده در تولید داده توسط LARS-WG برای حوضه صوفی چاپ ۲۵ سال بوده است، لذا مطابق جدول t -student و مقایسه t محاسباتی با t بحرانی، مدل سازی بارش در همه ماه ها در سطح معنی داری پنج درصد قابل قبول می باشد. آزمون F به منظور بررسی این موضوع که داده های دو گروه مشاهداتی و شبيه سازی شده دارای توزيع نرمال يكسان با واريانس مشابه هستند با نه، به كارمی رو. در واقع آزمون F برای معنی دار بودن اختلاف بين واريانس های دو نمونه انجام می شود. اگر مقادير محاسبه شده از مقدار بحرانی در جدول بيشتر باشد، اختلافها معنی دار خواهد بود بر اين اساس تمامي مقادير F موجود در جدول حاکی از آن است که واريانس دو گروه مشاهداتی و مدل سازی از يك توزيع آماری تبعيت می كنند.

دماي حداقل و حداكثر

بررسی مقادير کاي-دو توزيع دماهای حداقل و حداكثر روزانه نشان داد که تمامي مقادير در سطح پنج درصد قابل قبول در هستند و مدل LARS-WG از توامندی مطلوبی در مدل سازی دماي حداقل و حداكثر روزانه همانند بارش برخوردار می باشد. همچنین با مقایسه مقادير t محاسباتی و بحرانی دماي حداقل و حداكثر برای تمامي ماهها آشکار گردید که ميانگين مقادير مدل شده و مشاهداتي از يك جامعه آماري هستند. علاوه بر آن در شکل (۵) توامندی مدل در شبيه سازی دماي حداقل و حداكثر ماهانه و انحراف معيار آنها نشان داده شده است. همان طور که ملاحظه می شود مقادير مدل شده و مشاهداتي تطابق بسيار خوبی با همديگر دارند.

نتایج مدل HadcM3 تحت سناریوهای A2 و A1B

با در نظر گرفتن بازه زمانی ۱۹۸۳-۲۰۰۸ به عنوان دوره‌ی پايه ورودی به مدل LARS-WG، پارامترهای روزانه بارش، دماي حداقل و دماي حداكثر برای سه دوره در آينده بر اساس مدل HadcM3 تحت سناريوهای A2 و A1B تولید گردید. در جدول های (۴) و (۵) تغييرات ميانگين سالانه پارامترهای مذكور نسبت به دوره پايه هر دو سناريو آورده شده است. در دوره پايه (۱۹۸۳-۲۰۰۸) متوسط بارش دوره حدود ۳۴۰ ميلى متر، متوسط دماي حداقل روزانه ۷/۸۲ درجه سانتي گрад و متوسط دماي حداكثر روزانه ۱۸/۵۳ درجه سانتي گراد می باشد.

انتخاب معيار مناسب (از قبيل ضريب همبستگی، ميانگين مربعات خطأ و...)، برای سنجش برازش فرمول ها، ۴- تعیین پارامترهای كنترل کننده اجرای برنامه (اندازه جمعیت، احتمال مربوط به بكارگيري عملگرهای ژنتيکي و جزيئات ديگر مربوط به اجرای برنامه)، ۵- معيار پايان و آرائه نتایج اجرای برنامه (مثل تعداد تولید جمعیت جدید و يا تعیین يك مقدار مشخص برای برازش فرمول ها که اگر ميزان برازش برابر يا بيشتر از آن مقدار شد، اجرا متوقف شود).

معيارهای ارزیابی مدل های پیش‌بینی رواناب

در اين تحقیق به دليل استفاده از ساختارهای مختلف وروdi به مدل های هوشمند، برای ارزیابی مدل بهینه در برآورد رواناب از دو معيار زير استفاده شده است:

جذر ميانگين مربعات خطأ :

$$RMSE = \left[\frac{1}{n} \sum_{i=1}^n (x_{oi} - x_{pi})^2 \right]^{1/2} \quad (2)$$

ضريب همبستگی :

$$R = \frac{\sum_{i=1}^n (x_{oi} - \bar{x}_o)(x_{pi} - \bar{x}_p)}{\sqrt{\sum_{i=1}^n (x_{oi} - \bar{x}_o)^2 \sum_{i=1}^n (x_{pi} - \bar{x}_p)^2}} \quad (3)$$

نتایج و بحث

نتایج مدل LARS-WG • بارش

در مدل LARS-WG . برای سنجش اختلاف بين دو جامعه مدل شده و واقعی از آزمون "کاي-دو" استفاده می شود. در اين آزمون ضريب اختلاف بين فراوانی طبقات دو جامعه با هم مقایسه شده و مقدار کاي-دو محاسبه می شود، در صورتی که اختلاف بين آنها کوچک باشد، می توان نتيجه گرفته که اختلاف معنی داری بين دو جامعه آماري (مدل شده و واقعی) وجود ندارد. در جدول (۲) مقادير کاي-دو توزيع بارش های روزانه ماهانه سال محاسبه و آورده شده است. براساس اين جدول نتایج حاصله در سطح پنج درصد معنی دار هستند، بنابراین توامندی مدل در ايجاد داده های بارش ماهانه بررسی شده و مورد تأييد قرار گرفته است.

در شکل (۴) ميانگين بارش واقعی و شبيه سازی شده به همراه انحراف معيار آنها رسم شده است که نشان دهنده انبساط خوب ميانگين و انحراف معيار بارش واقعی و مدل سازی شده می باشد. به منظور بررسی اين موضوع که آيا داده های مشاهداتي و شبيه سازی شده بارش ماهانه از يك جامعه آماري

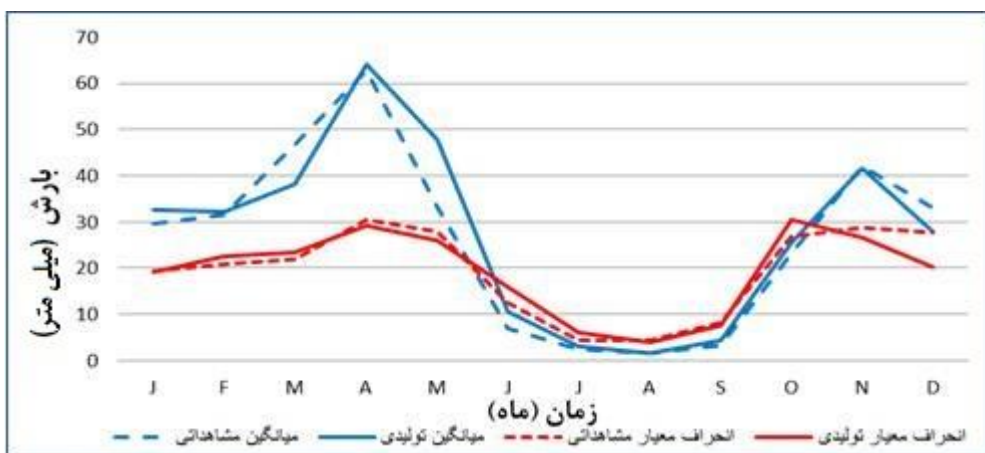
1-Root Mean Squared Error

2- Correlation Coefficient

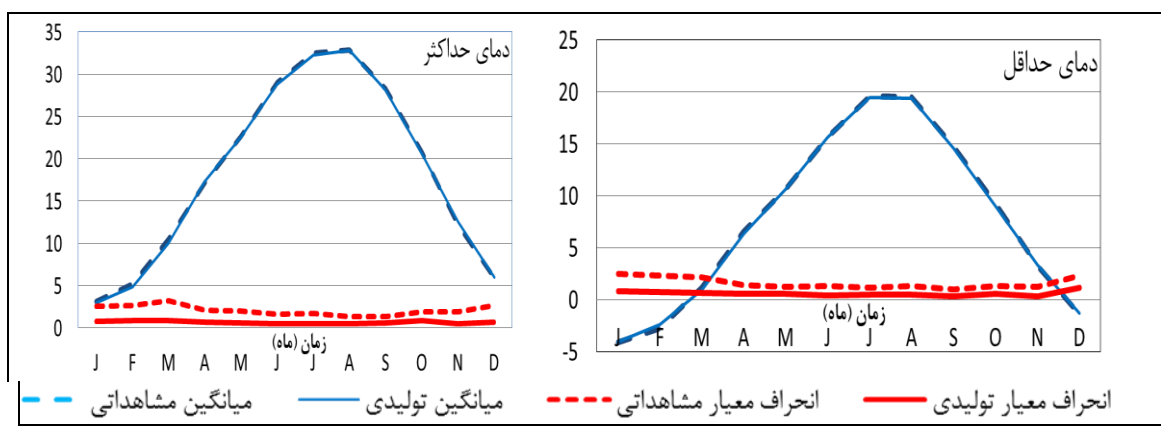
3- Chi-Square

جدول ۲- مقادیر آزمون کای-دو پرای توزیع پارش‌های روزانه ماه‌های مختلف

ماه	تعداد	مقدار
دسامبر	-۰/۰۹۶	کای-
جنویہ	-۰/۰۵۰	فوڈ
مارس	-۰/۱۳۲	اویل
آوریل	-۰/۰۵۹	می
پنجم	-۰/۰۴۸	ژون
جولای	-۰/۱۷۵	اوت
ستمبر	-۰/۲۱۸	اکتوبر
نوامبر	-۰/۱۲۴	سپتامبر
دسمبر	-۰/۱۰۴	کای



شکل ۴- مدل سازی موفق بارش ماهانه ایستگاه مراغه توسط مدل LARS-WG



شکل ۵- مدل سازی موفق دمای حداقل و حداکثر ماهانه (سانتی گراد) در ایستگاه مراغه توسط LARS-WG

غريب دوست و همکاران: برآورد ميزان تاثير تغيير اقليم بر بارش - رواناب...

جدول ۳- مقادير بارش واقعی و مدل شده(ميلى متر) ، انحراف معيار(ميلى متر) ، مقادير T و F

دسامبر	نومبر	اكتبر	سپتامبر	آگوست	جولای	ژوئن	ماي	آپريل	مارس	فوريه	ژانويه
۳۳/۱۲	۴۲	۲۳/۲	۳/۳	۱/۵۵	۲/۵	۶/۹	۳۳/۳	۶۲/۷۸	۴۶/۸	۲۱/۴۴	۲۹/۶۴
۲۷/۵۷	۲۸/۶۷	۲۶/۸۶	۸/۲۰	۴/۴۰	۴/۳۸	۱۲/۴۲	۲۷/۹۶	۳۰/۴۵	۲۱/۹۵	۲۰/۸۸	۱۹/۴۱
۲۷/۸۹	۴۱/۶۷	۲۵/۵	۴/۲۷	۱/۶۱	۳/۱۵	۱۰/۵۸	۴۷/۸۸	۶۴/۰۴	۳۸/۱۲	۳۲/۲۶	۳۲/۶
۲۰/۱	۲۶/۵۸	۳۰/۵۳	۷/۴۹	۳/۹۰	۶/۱۲	۱۵/۸۳	۲۵/۸۶	۲۹/۱۶	۲۳/۴۹	۲۲/۴۵	۱۹/۱۳
۰/۷۱	۰/۰۴	-۰/۲۷	-۰/۴۱	-۰/۰۴	-۰/۴۲	-۰/۸۸	-۱/۷۹	-۰/۱۴	۱/۲۷	-۰/۱۲	-۰/۵۱
۱/۸۸	۱/۱۶	۱/۲۹	۱/۲	۱/۲۷	۱/۹۴	۱/۶۲	۱/۱۶	۱/۰۹	۱/۱۴	۱/۱۵	۰/۰۳
											F

جدول ۴- تغييرات ميانگين سالانه اقليم در ايستگاه مراغه (مدل HadcM3 با سناريyo A2)

دوره مورد مطالعه (ميلا دي)	تغييرات دمای حداقل (درجه سانتي گراد)	تغييرات دمای حداقل (درجه سانتي گراد)	تغييرات در بارش سالانه ميلي متر (درصد)
۲۰۱۱ - ۲۰۳۰	+ ۰/۶	+ ۰/۷	+ ۹/۱ (۲/۶۷)
۲۰۴۶ - ۲۰۶۵	+ ۲/۰	+ ۲/۱	- ۲۱/۸ (۶/۴۱)
۲۰۸۰ - ۲۰۹۹	+ ۴/۵	+ ۴/۶	- ۵۷/۹ (۱۷/۰۲)

جدول ۵- تغييرات ميانگين سالانه اقليم در ايستگاه مراغه (مدل HadcM3 با سناريyo A1B)

دوره مورد مطالعه (ميلا دي)	تغييرات دمای حداقل (درجه سانتي گراد)	تغييرات دمای حداقل (درجه سانتي گراد)	تغييرات در بارش سالانه ميلي متر (درصد)
۲۰۱۱ - ۲۰۳۰	+ ۰/۴۳	+ ۰/۵۴	+ ۱۱/۷۹ (۳/۴۶)
۲۰۴۶ - ۲۰۶۵	+ ۲/۲۲	+ ۲/۳۳	- ۱۱/۱۹ (۳/۲۹)
۲۰۸۰ - ۲۰۹۹	+ ۳/۶۸	+ ۳/۷۳	- ۳۶/۹۵ (۱۰/۸۶)

نتایج شبکه عصبی مصنوعی

برای ایجاد شبکه‌ای مطلوب (دقت بالا و خطای کم) میان پارامترهای ورودی و خروجی دوره پایه، الگوهای مختلفی (جدول ۷) به عنوان ورودی به شبکه عصبی مصنوعی در نظر گرفته شده است. جهت انتخاب بهترین مدل، مقادیر معیارهای نیکویی برآش در دو مرحله آموزش و صحبت سنجی، برای چهار مدل مورد استفاده، در جدول (۸) آورده شده است.

به منظور برآورده روابط دوره‌های آتی از مدل شماره چهار، به علت نتایج بهتر (ضریب همبستگی بالاتر و خطای کمتر) استفاده شده است. مقادیر روزانه بارش، دمای حداقل و دمای حداکثر که به وسیله مدل HadcM3 تحت دو سناریو A1B و A2 برای دوره‌های مذکور در آینده تولید شده‌اند با ۷ تأخیر به عنوان ورودی به شبکه داده شده و مقادیر روزانه روابط به عنوان خروجی توسط شبکه تولید می‌شوند. در جدول‌های (۹) و (۱۰) نتایج مربوط به هر دو سناریو ارائه شده است.

نتایج مدل‌های پیش‌بینی روابط

برای مدل سازی به کمک مدل‌های پیش‌بینی کننده بایستی پارامترهای ورودی و خروجی مدل به درستی مشخص شوند. در تحقیق حاضر داده‌های مربوط به میزان روابط روزانه ایستگاه هیدرومتری تازه کند واقع در حوضه آبریز صوفی چای، به عنوان خروجی مدل‌های پیش‌بینی بوده و از داده‌های بارندگی، دمای حداقل و دمای حداکثر با زمان تاخیرهای مختلف به عنوان ورودی استفاده شده است. در هر دو مدل ۸۰ درصد داده‌ها جهت آموزش و ۲۰ درصد بقیه برای صحبت سنجی می‌باشد. به دلیل مقیاس روزانه داده‌های مورد استفاده در این تحقیق، پارامترهای ورودی و خروجی از ضریب همبستگی پایینی برخوردار بودند، لذا برای افزایش دقت مدل‌های هوشمند در تخمین روابط تغییرات آورده شده در جدول (۶) بر روی داده‌ها اعمال گردید.

جدول ۶- تغییرات اعمال شده روی داده‌ها برای مدل سازی روابط

$$\begin{aligned} p(t') &= \text{Sum}(p_t, \dots, p_{t-20}) & T\max(t') &= \text{Average}(T\max_t + \dots + T\max_{t-20}) \\ R(t') &= R(t) & T\min(t') &= \text{Average}(T\min_t + \dots + T\min_{t-20}) \end{aligned}$$

جدول ۷- مدل‌های مختلف شبکه عصبی مصنوعی بررسی شده در این تحقیق

الگوی ورودی	ساختار مدل
۱	$R = f[p(t'), p(t' - 1); T\max(t'), T\max(t' - 1); T\min(t'), T\min(t' - 1)]$
۲	$R = f[p(t'), \dots, p(t' - 3); T\max(t'), \dots, T\max(t' - 3); T\min(t'), \dots, T\min(t' - 3)]$
۳	$R = f[p(t'), \dots, p(t' - 5); T\max(t'), \dots, T\max(t' - 5); T\min(t'), \dots, T\min(t' - 5)]$
۴	$R = f[p(t'), \dots, p(t' - 7); T\max(t'), \dots, T\max(t' - 7); T\min(t'), \dots, T\min(t' - 7)]$

جدول ۸- تحلیل آماری دقت مدل شبکه عصبی مصنوعی

الگوی ورودی	معیار نیکویی برآش	آموزش	مرحله	صحبت سنجی
۱	ضریب همبستگی	.۰/۷۱۱۶	.۰/۶۹۱۷	
	جذر میانگین مربعات خطأ	.۰/۱۴۸۹	.۰/۱۵۸۸	
۲	ضریب همبستگی	.۰/۷۴۹۱	.۰/۷۲۰۸	
	جذر میانگین مربعات خطأ	.۰/۱۴۲۳	.۰/۱۵۳۱	
۳	ضریب همبستگی	.۰/۸۰۹۶	.۰/۷۸۱۲	
	جذر میانگین مربعات خطأ	.۰/۱۱۸۸	.۰/۱۳۷۰	
۴	ضریب همبستگی	.۰/۸۷۸۱	.۰/۸۴۷۴	
	جذر میانگین مربعات خطأ	.۰/۰۹۳۱	.۰/۰۹۸۵	

غريب دوست و همکاران: برآورد ميزان تاثير تغيير اقليم بر بارش - رواناب...

محاسبات کم و زمان رسیدن به يك برازش مناسب طولاني می شود، به همين دلایل پارامترهای ورودی الگوهای ارائه شده در جدول (۱۱) نهایتاً دارای يك تأخير هستند. نتيجه ارزیابی الگوهای متفاوت ورودی در جدول (۱۲) قابل ملاحظه می باشد.

نتایج برنامه ریزی ژنتیک

نرم افزار GeneXprotools مورد استفاده برای برنامه ریزی ژنتیک از نظر تعداد پارامترهای ورودی با محدودیت روبه رو بوده و با افزایش تعداد پارامترهای ورودی سرعت

جدول ۹- تغييرات ميانگين سالانه رواناب حوضه صوفی چای (بر اساس مدل HadcM3 با سناريyo A2)

دوره مورد مطالعه (ميلا دي)	تغييرات در رواناب سالانه مترمكعب بر ثانيه (درصد)
۲۰۱۱ - ۲۰۳۰	-۰/۴۲ (۱۱/۴)
۲۰۴۶ - ۲۰۶۵	-۰/۷۳ (۱۹/۸)
۲۰۸۰ - ۲۰۹۹	-۱/۴۱ (۳۸/۳)

* ميانگين سالانه رواناب دوره پايه ۳/۶۸ مترمكعب بر ثانيه می باشد.

جدول ۱۰- تغييرات ميانگين سالانه رواناب حوضه صوفی چای (بر اساس مدل HadcM3 با سناريyo A1B)

دوره مورد مطالعه (ميلا دي)	تغييرات در رواناب سالانه مترمكعب بر ثانيه (درصد)
۲۰۱۱ - ۲۰۳۰	-۰/۳۹ (۱۰/۵)
۲۰۴۶ - ۲۰۶۵	-۰/۷۱ (۱۹/۲)
۲۰۸۰ - ۲۰۹۹	-۰/۸۹ (۲۴/۱)

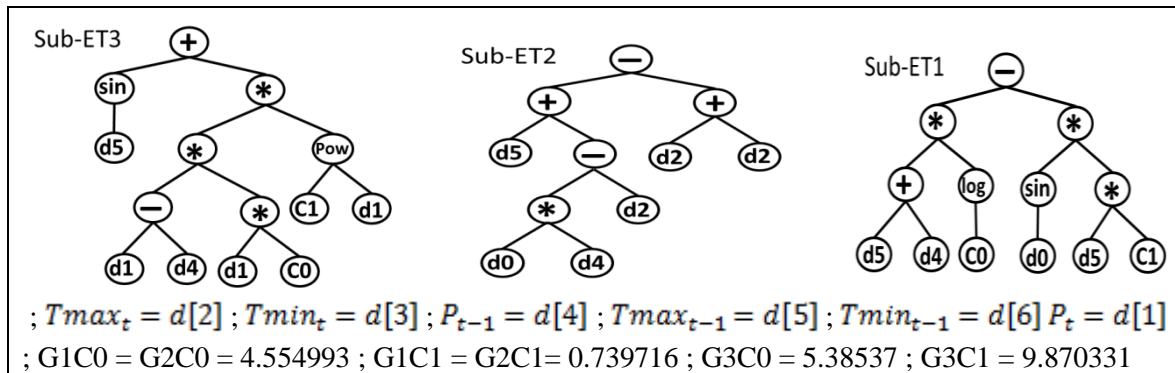
* ميانگين سالانه رواناب دوره پايه ۳/۶۸ مترمكعب بر ثانيه می باشد.

جدول ۱۱- الگوهای مختلف مورد استفاده در مدل برنامه ریزی ژنتیک

الگو ورودی	ساختار مدل
۱	$R = f[p(t); T_{max}(t); T_{min}(t)]$
۲	$R = f[p(t), p(t-1); T_{max}(t); T_{min}(t)]$
۳	$R = f[p(t), p(t-1); T_{max}(t), T_{max}(t-1); T_{min}(t), T_{min}(t-1)]$

جدول ۱۲- تحليل آماری دقت مدل برنامه ریزی ژنتیک

الگو ورودی	معيار نيكويي برازش	آموزش	مرحله	صحت سنجی
۱	ضريرب همبستگي	۰/۶۸۳۷		۰/۶۶۴۱
۲	جذر ميانگين مربعات خطأ	۰/۱۶۲		۰/۱۶۵
۲	ضريرب همبستگي	۰/۷۲۰۱		۰/۷۰۱۵
۲	جذر ميانگين مربعات خطأ	۰/۱۵۱		۰/۱۵۸
۳*	ضريرب همبستگي	۰/۷۵۳۱		۰/۷۳۸۷
۳*	جذر ميانگين مربعات خطأ	۰/۱۳۳		۰/۱۳۴



جدول ۱۳- تغییرات میانگین سالانه رواناب حوضه صوفی چای (بر اساس مدل HadcM3 با سناریو A2).

دوره مورد مطالعه (میلادی)	تغییرات در رواناب سالانه متراکم ب برثانیه (درصد)
۲۰۱۱ - ۲۰۳۰	-۰/۶۶ (۱۷/۹)
۲۰۴۶ - ۲۰۶۵	-۰/۷۲ (۱۹/۵)
۲۰۸۰ - ۲۰۹۹	-۰/۸۶ (۲۳/۳)

جدول ۱۴- تغییرات میانگین سالانه رواناب حوضه صوفی چای (بر اساس مدل HadcM3 با سناریو A1B).

دوره مورد مطالعه (میلادی)	تغییرات در رواناب سالانه متراکم ب برثانیه (درصد)
۲۰۱۱ - ۲۰۳۰	-۰/۶۶ (۱۷/۹)
۲۰۴۶ - ۲۰۶۵	-۰/۷۱ (۱۹/۲)
۲۰۸۰ - ۲۰۹۹	-۰/۷۴ (۲۰/۱)

نتیجه‌گیری

امروزه پدیده گرمایش جهانی و تغییر اقلیم به خاطر افزایش گازهای گلخانه‌ای امری اثبات شده است. باتوجه به اهمیت تغییر اقلیم و تاثیر آن بر فرآیندهای هیدرولوژیکی نظیر بارش و جریان رودخانه‌ها به عنوان یکی از اصلی ترین منابع تأمین کننده آب حوضه‌ها هدف از تحقیق حاضر برآورده میزان تاثیر تغییر اقلیم بر بارش- رواناب حوضه صوفی چای می‌باشد. در این تحقیق مقادیر روزانه بارش، دمای حداقل و دمای حداکثر حوضه صوفی چای مابین سالهای ۱۹۸۳ تا ۲۰۰۸ به عنوان دوره پایه مدل LARS-WG تحت دو سناریو A2 و A1B این پارامترها برای HadCM3 دوره‌های آینده تولید گردید که نتایج حاکی از افزایش مقطوعی بارش در دوره ۲۰۱۱-۲۰۳۰ (۲/۶ درصد در سناریو A2 و ۳/۴ در دوره ۲۰۸۰-۲۰۹۹) در آینده‌های دورتر (۷ درصد در سناریو A1B) و کاهش آن در آینده‌های دورتر (۱۰/۸ در سناریو A2 و ۱۰/۸ در سناریو A1B) نسبت به آینده کنونی، و افزایش تدریجی دمای حداقل و دمای حداکثر در آینده بوده که با مطالعات قبلی صورت گرفته در این منطقه همچون تحقیق ضرغامی و همکاران (۲۰۰۹) مطابق می‌باشد. نتایج هر دو مدل هوشمند نشان دهنده کاهش میزان رواناب در آینده نسبت به حال حاضر می‌باشد. شبکه عصبی براساس سناریو A2 کاهشی معادل با ۳/۸ درصد و بر اساس سناریو

به منظور برآورد رواناب روزانه دوره‌های آتی از الگوی شماره سه، به دلیل نتایج بهتر (ضریب همبستگی بالاتر و خطای کمتر) استفاده می‌شود. شکل ریاضی مدل حاصل به منظور پیش‌بینی دبی جریان رودخانه صوفی چای در مقیاس زمانی روزانه به صورت زیر می‌باشد:

$$\begin{aligned}
 Q_t = & 0.6584 * [Tmin_{t-1} + Tmax_{t-1}] - \\
 & [0.7397 * sin P_t * Tmin_{t-1}] + \\
 & [(P_t * Tmax_{t-1}) + Tmin_{t-1} - Tmin_t] + \\
 & [-2Tmin_t + sin(Tmin_{t-1})] + \\
 & [Tmax_t - Tmax_{t-1}] * [5.3853 * Tmax_t \\
 & * (9.8703)^{Tmax_t}] \\
 \end{aligned} \quad (۴)$$

همچنین مدل درختی حاصل از بهترین الگوی حاصل از برنامه‌ریزی ژنتیک برای پیش‌بینی دبی جریان روزانه ایستگاه تازه کند در شکل (۶) نشان داده شده است. تغییرات مقدار میانگین سالانه رواناب حوضه صوفی چای در سناریو A1B و A2 تحت دو سناریو A1B و A2 برای دوره‌های آینده مطابق جدول‌های (۱۳) و (۱۴) می‌باشد.

غريب دوست و همكاران: برآورد ميزان تاثير تغيير اقليم بر بارش - رواناب...

محاسبه‌ی بسیار کم شبکه عصبی می‌توان چنین نتیجه گرفت که شبکه عصبی مصنوعی روشی مناسب تر و بهتر از برنامه‌ریزی ژنتیک برای مدل سازی رواناب در آینده می‌باشد.

A1B کاهشی معادل با ۲۴ درصد را برای آینده دور برآورد نمود. برنامه‌ریزی ژنتیک نیز بر اساس سناریو A2 کاهش ۲۳ درصدی و بر اساس سناریو A1B کاهشی برابر با ۲۰ درصد را پیش بینی نمود. که با توجه به دقت بالاتر، خطای پایین‌تر و زمان

منابع

- اشرف، ب.، موسوی بایگی، م.، کمالی، غ. و ک. داوری. ۱۳۹۰. پیش بینی تغییرات فصلی پارامترهای اقلیمی در ۲۰ سال آتی با استفاده از ریز مقیاس نمایی آماری داده های مدل HadCM3 (مطالعه موردنی: استان خراسان رضوی). نشریه آب و خاک (علوم و صنایع کشاورزی)، ۲۵(۴): ۹۴۰-۹۵۲.
- عباسی، ف.، ملبوسی، ش.، بابائیان، ا.، انمری، م. و ر. برهانی. ۱۳۸۹. پیش بینی تغییرات اقلیمی خراسان جنوبی در دوره ۲۰۱۰-۲۰۳۹ میلادی با استفاده از ریز مقیاس نمایی آماری خروجی مدل ECHO-G. نشریه آب و خاک (علوم و صنایع کشاورزی). ۲(۲۴): ۲۱۸-۲۳۳.
- 3- Abdo, K.S., Fiseha, B.M., Rientjes, T.H.M., Gieske, A.S.M. and A.T. Haile. 2009. Assessment of climate change impacts on the hydrology of Gilgel Abay catchment in lake Tana Basin. Ethiopia. Hydrological Processes, 23(26): 3661-3669.
- 4- Ferreira, C. 2001. Gene expression programming: a new adaptive algorithm for solving problems. Complex Systems, 13(2): 87-129.
- 5- Guven, A. 2009. Linear genetic programming for time-series modeling of daily flow rate. Journal of Earth System Science, 118(2): 157-173.
- 6- Hashmi, M.Z., Shamseldin, A.Y. and B.W. Melville. 2010. Comparison of SDSM and LARS-WG for simulation and down scaling of extreme precipitation events in a watershed. Stochastic Environmental Research and Risk Assessment, 25: 475-484.
- 7- Johnson, G.L., Hanson, C.L., Hardegree, S.P. and E.B. Ballard. 1996. Stochastic weather simulation: over view and analysis of two Commonly used model. Journal of Applied meteorology, 35: 1878-1896.
- 8- Kisi, O., Shiri, J. and M. Tombul. 2012. Modeling rainfall – runoff process using soft computing techniques. Computers & Geosciences, 23:412-422.
- 9- Koza, J.R. 1992. Genetic programming on the programming of computers by means of natural selection. MIT Press, Cambridge.
- 10-Mitchell, T.D. 2003. Pattern scaling : An examination of accuracy of the technique for describing future climates. Climate Change, 60:217-242.
- 11-Semenov, M.A. and E.M. Barrow. 2002. LARS-WG a stochastic weather generator for use in climate impact studies. User's manual, Version 3.0.
- 12-Souvignet, M., Gaese, H., Ribbe, L., Kretschmer, N. and R. Oyarzun. 2010. Statistical downscaling of precipitation and temperature in north-central Chile: an assessment of possible climate change impacts in an arid Andean watershed. Hydrological Sciences Journal, 55(1): 41-57.
- 13-Wilby, L.R., Hay, L.E. and G.H. Leavesley. 1998. A comparison of downscaled and raw GCM output: Implications for climate change scenarios in the San Juan River Basin, Colorado. Journal of Hydrology, 225: 67-91.
- 14-Wilby, R.L. and I. Harris. 2006. A framework for assessing uncertainties in climate change impacts: Low-flow scenarios for the River Thames, UK. Water Resources Research, 42(2): 1-10.
- 15-Yu HH and N.H. Jenq. 2002. Handbook of Neural Network Signal Processing. CRC Press.

- 16- Zarghami, M., Hassanzadeh, Y., Babaeian, I. and R. Kanani. 2009. Climate change and water resources vulnerability; Case study of Tabriz City. In SENSE symposium on climate proofing cities (1).